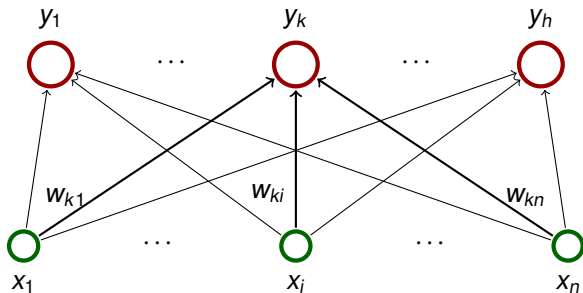


Kohonenova mapa - opakování

Organizační dynamika: Jednovrstvá síť



- ▶ Mezi neurony je navíc zavedena **topologická struktura** (tj. neurony tvoří uzly neorientovaného grafu).
- ▶ V drtivé většině případů je tato struktura buď jednorozměrná řada jednotek nebo dvojrozměrná mřížka.

Kohonenova mapa

Aktivní dynamika: Pro vstup $\vec{x} \in \mathbb{R}^n$ a $k = 1, \dots, h$:

$$y_k = \begin{cases} 1 & k = \arg \min_{i=1, \dots, h} \|\vec{x} - \vec{w}_i\| \\ 0 & \text{jinak} \end{cases}$$

Adaptivní dynamika: V adaptivním režimu využijeme topologickou strukturu.

- ▶ Označme $d(c, k)$ délku nejkratší cesty z neuronu c do neuronu k v topologické struktuře.
- ▶ Pro neuron c a dané $s \in \mathbb{N}_0$ definujeme **okolí** neuronu c velikosti s takto: $N_s(c) = \{k \mid d(c, k) \leq s\}$

V kroku t po předložení vstupu \vec{x}_t adaptujeme každé \vec{w}_k takto:

$$\vec{w}_k^{(t)} = \begin{cases} \vec{w}_k^{(t-1)} + \theta \cdot (\vec{x}_t - \vec{w}_k^{(t-1)}) & k \in N_s(c) \\ \vec{w}_k^{(t-1)} & \text{jinak} \end{cases}$$

kde $c = \arg \min_{i=1, \dots, h} \|\vec{x}_t - \vec{w}_i^{(t-1)}\|$ a kde $\theta \in \mathbb{R}$ a $s \in \mathbb{N}_0$ jsou parametry, které se mohou v průběhu učení měnit.

Obecnější formulace adaptivní dynamiky:

$$\vec{w}_k^{(t)} = \vec{w}_k^{(t-1)} + \Theta(c, k) \cdot (\vec{x} - \vec{w}_k^{(t-1)})$$

kde $c = \arg \min_{i=1, \dots, h} \|\vec{x}_t - \vec{w}_i^{(t-1)}\|$. Předchozí případ potom odpovídá

$$\Theta(c, k) = \begin{cases} \theta & k \in N_s(c) \\ 0 & \text{jinak} \end{cases}$$

Obvykle se používá plynulejší přechod mezi nenulovými a nulovými hodnotami, např.

$$\Theta(c, k) = \theta_0 \cdot \exp\left(\frac{-d(c, k)^2}{\sigma^2}\right)$$

kde $\theta_0 \in \mathbb{R}$ určuje maximální míru změny vah a $\sigma \in \mathbb{R}$ je šířka (oba parametry se mohou v průběhu měnit).

LVQ - klasifikace - opakování

Přepodkládejme, že máme náhodně generované vzory tvaru (\vec{x}_t, d_t) kde $\vec{x}_t \in \mathbb{R}^n$ je **vektor vlastností** a $d_t \in \{C_1, \dots, C_q\}$ určuje jednu z q **tříd**.

Cílem je klasifikovat vstupy do tříd na základě znalosti vlastností, tj. každému \vec{x}_t chceme přiřadit třídu tak, abychom minimalizovali pravděpodobnost chyby.

Př.: Po pásu jede náhodně „naházené“ ovoce dvou druhů: jablka a melouny. Námi sledovaná data budou (\vec{x}_t, d_t) kde

- ▶ $\vec{x}_t \in \mathbb{R}^2$, první vlastnost je hmotnost, druhá je průměr
- ▶ d_t je buď J nebo M v závislosti na tom, jestli je daný kus jablko nebo meloun

Připouštíme možnost, že se najde jablko a meloun se stejnými mírami.

Cílem je třídít ovoce na základě hmotnosti a průměru.

Využijeme vektorovou kvantizaci (Kohonenovu mapu) takto:

1. Natrénujeme mapu na vektorech vlastností \vec{x}_t kde $t = 1, \dots, \ell$.
2. Jednotlivé neurony označíme třídami. Třidu v_c neuronu c nalezneme takto:

Pro každý neuron c a třídu C_i spočítáme četnost vzorů třídy C_i , které jsou reprezentovány neuronem c .

Toto lze provést jedním průchodem přes vzory

Neuronu c přiřadíme třídu s maximální četností.

3. Doladíme síť pomocí algoritmu LVQ.

Klasifikaci pomocí natrénované sítě provádíme takto: Na vektor vlastností \vec{x} aplikujeme natrénovanou síť v aktivním režimu. Právě jeden neuron, řekněme c , bude mít výstup 1. Potom vstup zařadíme do třídy v_c .

LVQ1 - opakování

Postupně projdi tréninkové vzory. Pro vzor (\vec{x}_t, d_t) urči nejbližší neuron c

$$c = \arg \min_{i=1, \dots, h} \|\vec{x}_t - \vec{w}_i\|$$

Potom uprav váhy neuronu c takto:

$$\vec{w}_c^{(t)} = \begin{cases} \vec{w}_c^{(t-1)} + \alpha(\vec{x}_t - \vec{w}_c^{(t-1)}) & d_t = v_c \\ \vec{w}_c^{(t-1)} - \alpha(\vec{x}_t - \vec{w}_c^{(t-1)}) & d_t \neq v_c \end{cases}$$

Parametr α by měl být od počátku malý (cca 0.01 – 0.02) a postupně klesnout k 0.

Hranice mezi třídami vytvořená pomocí LVQ1 je poměrně dobrou aproximací *bayesovské rozhodovací hranice*.

Zdroj: The Self-Organizing Map. T. Kohonen, IEEE, 1990

Cílem je automaticky zapisovat diktovaný text (v originále buď Finština nebo Japonština)

Zvuk byl nejprve předzpracován:

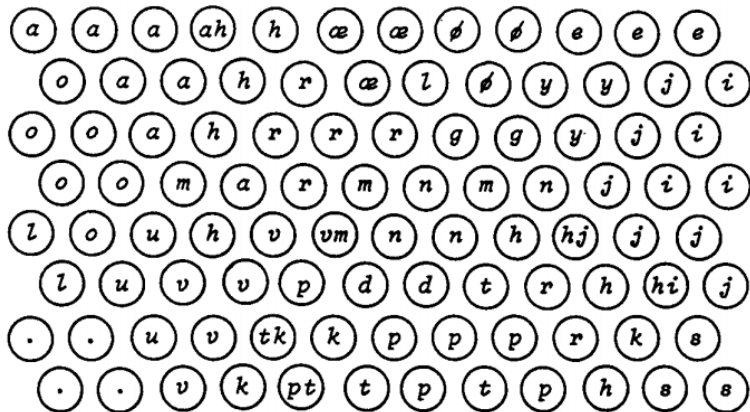
- ▶ 5.3 kHz low-pass filter
- ▶ digitalizace (12-bit, 13.02-kHz sampling rate)
- ▶ spektrální rozklad (Fourierova transformace každých 9.83 ms)
- ▶ spektrum „zkombinováno“ do 15 komponent od 200 Hz po 5 kHz -> 15 dimenzionální vstupy pro Kohonenovu mapu

Byla také provedena normalizace na nulové střední hodnoty komponent a konstantní délku vektorů.

Klasická aplikace - fonetický psací stroj

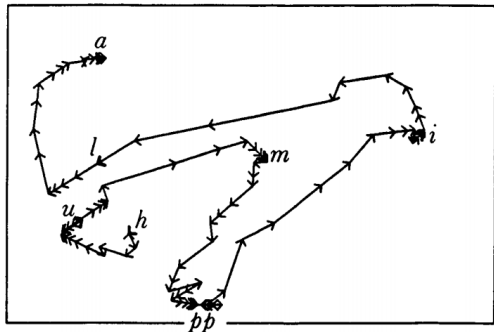
Vytvořena Kohonenova mapa 8×12 jednotek, hexagonální
Trénována na toku 15 dim vektorů v jejich přirozeném pořadí
(pouze samoorganizace)

Poté přiřazeny fonémy jednotlivým neuronům, doladěno
pomocí LVQ.



Klasická aplikace - fonetický psací stroj

Mapu lze využít k vizualizaci mluveného slova (zde *Humpilla*):



Může být využito k rozpoznávání mluvených slov s použitím klasifikátoru natrénovaného na mnoha překladech.

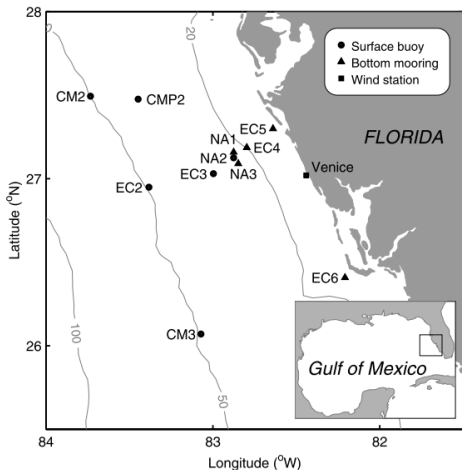
Table 2 Speech Recognition Experiments with Error Percentages for Independent Test Data

	Parametric Bayes	kNN	LVQ1	LVQ2	LVQ3
Test 1	12.1	12.0	10.2	9.8	9.6
Test 2	13.8	12.1	13.2	12.0	11.5

Oceánografická data

Zdroj: Patterns of ocean current variability on the West Florida Shelf using the self-organizing map. Y. Liu a R. H. Weisberg, JOURNAL OF GEOPHYSICAL RESEARCH, 2005

Zkoumá se vývoj proudění vod v oceánu kolem pobřeží Floridy



Oceánografická data

- ▶ 11 měřicích stanic, 3 hloubky (hladina, dno, mezi)
- ▶ data: 2D vektory rychlosti (a směru) proudění
- ▶ měřeno po hodinách, 25585 hodin

Celkově tedy 25585 řádků 66 dimenzionálních položek.

Kohonenova mapa:

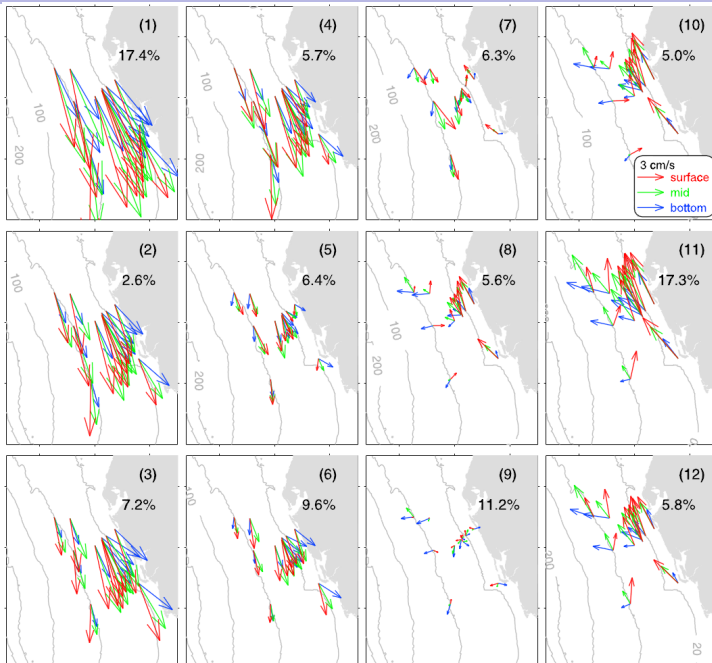
- ▶ mřížka 3×4
- ▶ okolí dána Gaussovou funkcí

$$\Theta(c, k) = \theta_0 \cdot \exp\left(\frac{-d(c, k)^2}{\sigma^2}\right)$$

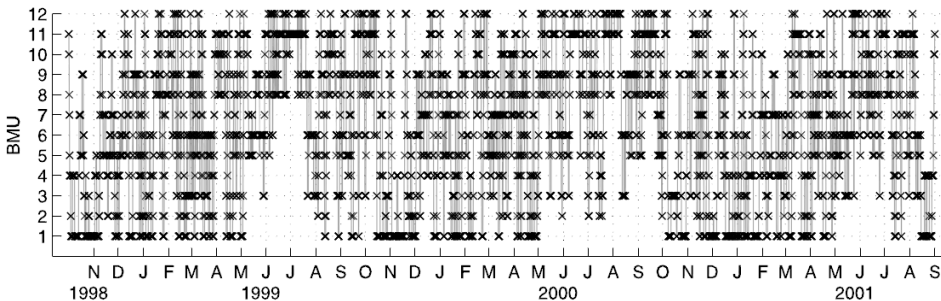
se zmenšující se šířkou

(navíc je tam lineárně se zmenšující rychlost učení, kterou se násobí změna polohy neuronů)

Océanografická data - mapa

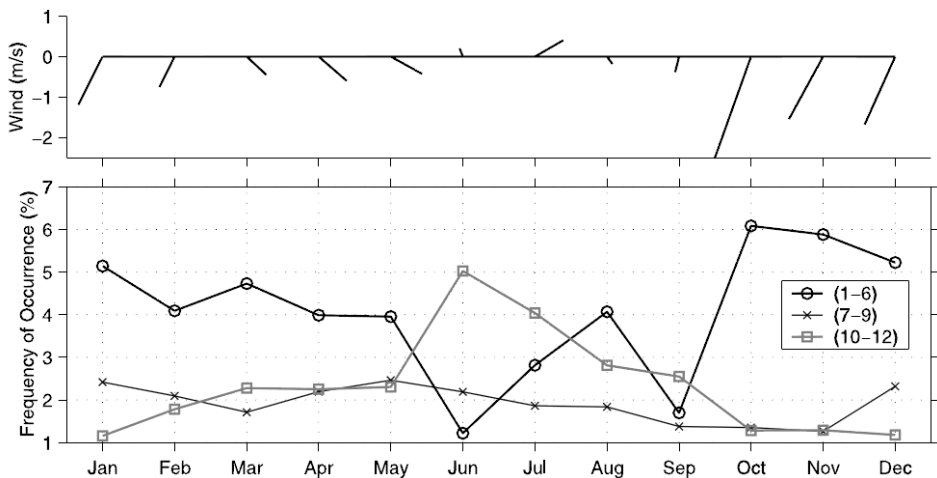


Oceánografická data



- ▶ křížky označují „vítězné“ neurony (po hodinách)
- ▶ ovlivněno lokálními fluktuacemi
- ▶ pozorovatelný trend:
 - ▶ v zimě neurony 1-6 (jiho-východ)
 - ▶ v létě neurony 10-12 (severo-západ)

Océanografická data



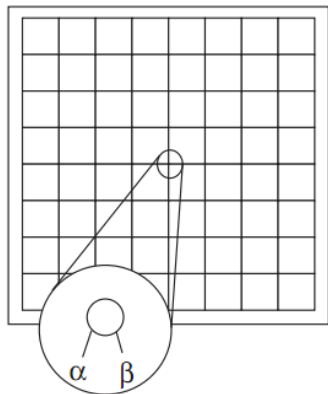
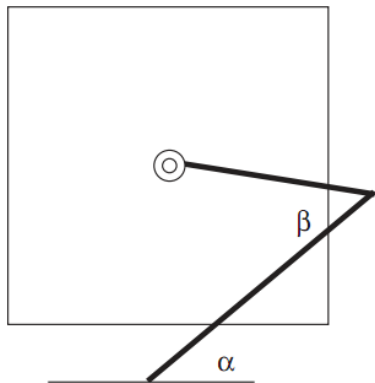
Srovnání směru větru a proudění vody (znatelná korelace)

- ▶ vítr: směr čáry = směr větru ; délka čáry = intenzita
- ▶ proudění vody v procentech úspěšnosti skupin neuronů

Robotická ruka

Zdroj: Neural Networks - A Systematic Introduction, R. Rojas, Springer, 1996

Cílem je řídit robotickou ruku s jedním kloubem na čtvercové pracovní ploše:



Pozice ruky je dána dvěma úhly α a β .

Topologie Kohonenovy mapy zde odpovídá *pracovní ploše*

Váhy neuronů odpovídají příslušným úhlům α a β .

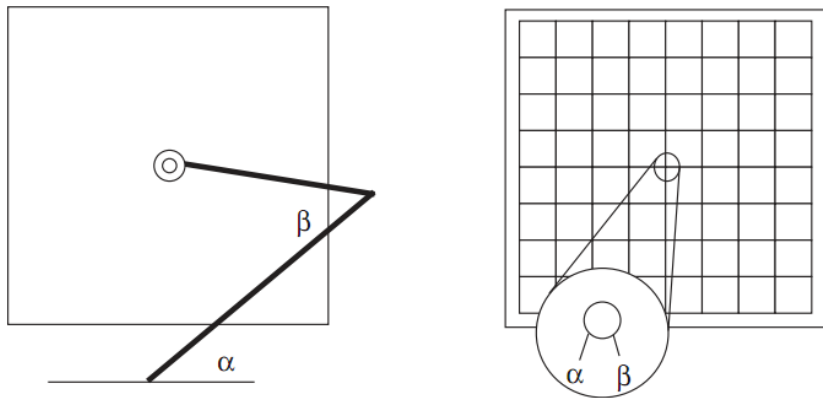
Adaptace:

- ▶ ruka je nastavena na náhodné místo na pracovní ploše, tj. ukazuje na vybraný neuron v topologické struktuře
- ▶ váhy tohoto neuronu (a neuronů v jeho okolí) jsou potom adaptovány podle aktuálních úhlů ruky

Ruka se tedy naučí mapovat souřadnice na pracovní ploše (topologie) na úhlové souřadnice.

Robotická ruka - idea

Cestu z bodu A do bodu B na pracovní ploše lze snadno namapovat na cestu v úhlovém prostoru:



Chybějící body v úhlovém prostoru se dostanou interpolací.

Analýza pohádek bratří Grimmů

Zdroj: Contextual Relations of Words in Grimm Tales, Analyzed by Self-Organizing Map. T. Kohonen, T. Honkela a V. Pulkki, ICANN, 1995

Cílem je vizualizovat syntaktické a sémantické kategorie slov v pohádkách (v závislosti na kontextu).

Vstup: Pohádky bratří Grimmů (srozumitelně kódované pomocí proudu 270-dimenzionálních vektorů)

- ▶ uvažují se trojice slov (předchůdce, klíč, následník)
- ▶ každá položka v trojici se zakóduje náhodně vybraným 90-dimenzionálním reálným vektorem (trojice má tedy dimenzi 270)

Síť: Kohonenova mapa, 42×36 neuronů, váhy neuronů jsou tvaru $w = (w_p, w_k, w_n)$ kde $w_p, w_k, w_n \in \mathbb{R}^{90}$.

Analýza pohádek bratří Grimmů

Adaptace:

Síť je inicializována takto: nejprve je identifikován dvojrozměrný podprostor prostoru \mathbb{R}^{270} jehož osy jsou ve směru největší variability dat. V tomto podprostoru tvoří váhy neuronů pravidelnou mřížku se středem ve střední hodnotě dat (rozloha mřížky je odvozena z variability dat)

Síť je natrénována na trojicích po sobě jdoucích slov z pohádek
Pozn. Trojice byly agregovány pomocí průměrování předchůdců a následníků apod.

Hrubé učení: 600 000 iterací; Doladování: 400 000

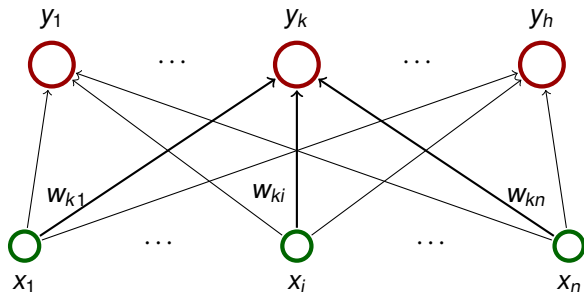
Nakonec je vybráno 150 nejčastěji použitých slov, kterými jsou označeny neurony:

slovem u je označen ten neuron, pro jehož váhy $w = (w_p, w_k, w_n)$ platí, že w_k je nejbližší kódu slova u .

Sítě s nervovým plynem :-)

(Neural gas networks)

Organizační dynamika: Jednovrstvá síť



Aktivní dynamika: Pro vstup $\vec{x} \in \mathbb{R}^n$ a $k = 1, \dots, h$:

$$y_k = \begin{cases} 1 & k = \arg \min_{i=1, \dots, h} \|\vec{x} - \vec{w}_i\| \\ 0 & \text{jinak} \end{cases}$$

Adaptivní dynamika:

Inicializace: náhodně vygeneruj váhy neuronů.

V kroku t po předložení \vec{x}_t proved'

- ▶ uspořádej neurony od nejbližšího k nejvzdálenějšímu, tj. vypočti i_1, i_2, \dots, i_h t.ž.

$$\left\| \vec{x}_t - \vec{w}_{i_1}^{(t-1)} \right\| < \left\| \vec{x}_t - \vec{w}_{i_2}^{(t-1)} \right\| < \dots < \left\| \vec{x}_t - \vec{w}_{i_h}^{(t-1)} \right\|$$

Dále pro každý neuron j urči počet k_j ostatních neuronů, které jsou blíže k \vec{x}_t než neuron j , tj.

$$k_j = \left| \left\{ i \mid \left\| \vec{x}_t - \vec{w}_i^{(t-1)} \right\| < \left\| \vec{x}_t - \vec{w}_j^{(t-1)} \right\| \right\} \right|$$

- ▶ adaptuj váhy všech neuronů j takto:

$$\vec{w}_j^{(t-1)} + \varepsilon \cdot e^{-k_j/\lambda} \cdot (\vec{x}_t - \vec{w}_j^{(t-1)})$$

Zde $\varepsilon, \lambda \in \mathbb{R}^+$ jsou parametry učení.

Neural gas s Hebbovským učením

Přidáme topologickou strukturu: neorientovaný graf G

G se bude konstruovat v průběhu učení (neovlivňuje učení), jeho smyslem je zvýraznit sousednost neuronů (podobně jako v naučené Kohonenově mapě)

Adaptivní dynamika je stejná jako pro neural gas net, pouze přidáme manipulaci s grafem G

- ▶ iniciálně nemá G žádné hrany, v průběhu výpočtu budou mít hrany přiřazen **věk** $t_{ij} \in \mathbb{N}_0$
- ▶ v každém kroku:
 - ▶ přidáme hranu mezi nejbližším a druhým nejbližším neuronem, tj. $\{i_1, i_2\}$, ke grafu G a vynulujeme věk této hrany: $t_{i_1 i_2} := 0$
 - ▶ zvýšíme věk ostatním hranám
 - ▶ vyhodíme staré hrany (tj. ty co mají věk vyšší než dané T)

Pozn.: z důvodu vypočetní náročnosti se aktualizace věku a vyhazování hran obvykle dělá pouze pro hrany vedoucí z neuronu i_1 .

Organizační dynamika:

- ▶ Dvouvrstvá síť (výstupní neuron má bias)
- ▶ vstupy: $\vec{x} = (x_1, \dots, x_n)$
- ▶ m skrytých neuronů

Jejich hodnoty značíme $\phi_0, \phi_1, \dots, \phi_m$ kde $\phi_0 = 1$ je formální jednotkový vstup pro výstupní neuron (viz. aktivní dynamika)

Občas budu psát $\phi_0(\vec{x}), \phi_1(\vec{x}), \dots, \phi_m(\vec{x})$ abych zdůraznil, že se jedná o hodnoty skrytých neuronů pro vstup sítě \vec{x} .

- ▶ jeden výstup: y
(pro jednoduchost; lze zobecnit na libovolný počet)

Parametry sítě:

- ▶ Výstupní neuron je jako ADALINE: má váhový vektor $\vec{w} \in \mathbb{R}^{m+1}$
- ▶ Každý skrytý neuron má tzv. střed $\vec{c}_i \in \mathbb{R}^n$ (odpovídá vahám ve standardní vícevrstvé síti) a šířku (odpovídá strmosti ve standardní síti, tj. je to parametr aktivační funkce)

Aktivní dynamika: Vnitřní potenciály skrytých neuronů:

$$\xi_j = \|\vec{x} - \vec{c}_j\|$$

Zde \vec{c}_j je **střed** skrytého neuronu j .

Aktivační funkce skrytých neuronů $\varphi_0, \varphi_1, \dots, \varphi_m$ jsou obecně libovolné diferencovatelné (a $\varphi_0 \equiv 1$). Budeme uvažovat:

$$\varphi_j(\xi_j) = \exp\left(-\frac{\xi_j}{2\sigma_j^2}\right) \quad (= \phi_j(\vec{x}))$$

Zde σ_j je **šířka** skrytého neuronu j .

Vnitřní potenciál výstupního neuronu:

$$\xi = \sum_{j=0}^m w_j \cdot \phi_j$$

Zde w_j jsou reálné **váhy**.

Aktivační funkce výstupu je identita: $y = \xi$.

Funkce sítě:

$$y(\vec{x}) = w_0 + \sum_{j=1}^m w_j \cdot \exp\left(-\frac{\|\vec{x} - \vec{c}_j\|}{2\sigma_j^2}\right)$$

Tvrzení: Pro každou spojitou funkci $f : \mathbb{R}^n \rightarrow \mathbb{R}$ a každé $\varepsilon > 0$ existuje RBF síť taková, že její funkce y splňuje:

$$|f(\vec{x}) - y(\vec{x})| < \varepsilon \quad \forall \vec{x} \in \mathbb{R}^n$$

Adaptivní dynamika: Dána množina **třéninkových vzorů**

$$\mathcal{T} = \{(\vec{x}_1, d_1), (\vec{x}_2, d_2), \dots, (\vec{x}_p, d_p)\}$$

Zde $\vec{x}_k = (x_{k1}, \dots, x_{kn}) \in \mathbb{R}^n$ je vstup k -tého vzoru a $d_k \in \mathbb{R}$ je očekávaný výstup.

Chybová funkce:

$$E = \frac{1}{2} \sum_{k=1}^p (y(\vec{x}_k) - d_k)^2$$

Cílem je nalézt následující parametry tak, aby byla chyba E minimalizována:

- ▶ váhy w_j výstupního neuronu
- ▶ středy \vec{c}_j skrytých neuronů
- ▶ šířky σ_j skrytých neuronů

Velkou výhodou RBF sítí je, že jejich trénink lze rozdělit do dvou (téměř) nezávislých fází:

- ▶ trénink skrytých neuronů, tj.
 - ▶ umístění středů \vec{c}_j
 - ▶ nastavení velikosti šířek σ_j
- ▶ trénink vah w_j výstupního neuronu

Rozmístění středů:

Pozorování: Máme velké množství dat (vstupů), pro malou část z nich máme předepsán požadovaný výstup (tréninková množina). Je dobré umístit středy neuronů do oblastí, které obsahují hodně datových bodů.

Středy lze proto umístit pomocí učení bez učitele - Kohonenovo učení (tj. *k*-means clustering), mapy, plyny apod.

Toto lze provádět na mnohem větší množině dat, pro které nepotřebujeme předepsaný výstup

Často se ovšem používá i jednoduché rovnoměrné rozmístění středů (pokud víme, že data jsou více méně pravidelně rozmístěna) nebo umístění středů do pozice náhodně vybraných vstupů.

Nastavení šířek: Aktivační funkce by neměly být ani příliš strmé ani příliš ploché. Údajně dobrou heuristikou je jednotná šířka $\sigma = D_{\max} / \sqrt{2m}$ kde D_{\max} je maximální (Euklidovská) vzdálenost středů a m je počet skrytých neuronů.

Pro fixní hodnoty parametrů skrytých neuronů (tj. fixní středy a šířky) se jedná o ADALINE. Můžeme proto použít příslušné metody k minimalizaci chyby E .

Lze také nalézt analytické řešení: Pokud fixujeme všechny středy a šířky, chyba E je funkcí \vec{w} (píšeme $E(\vec{w})$). Gradient funkce $E(\vec{w})$ je roven

$$(\vec{w} \cdot \Phi - \vec{d}) \cdot \Phi^T$$

kde $\vec{d} = (d_1, \dots, d_p)$, $\vec{w} = (w_0, \dots, w_m)$ a Φ je matice $(m+1) \times p$ jejíž i -tý sloupec obsahuje hodnoty skrytých neuronů pro i -tý vstup, tj. pro každé $j = 1, \dots, m$ a $i = 1, \dots, p$ máme

$$\Phi_{ji} = \phi_j(\vec{x}_i) = \exp\left(-\frac{\|\vec{x}_i - \vec{c}_j\|^2}{2\sigma_j^2}\right)$$

Vektor $\vec{w}^T = \vec{d} \cdot \Phi^+$ kde $\Phi^+ = \Phi^T \cdot (\Phi \cdot \Phi^T)^{-1}$ potom řeší $(\vec{w} \cdot \Phi - \vec{d}) \cdot \Phi^T = 0$ a tedy minimalizuje $E(\vec{w})$.

Sítě typu RBF - gradient

Učení lze také provádět pomocí standardního gradientního sestupu. Gradient lze snadno spočítat přímým derivováním:

$$\frac{\delta E}{\delta \sigma_j} = \sum_{k=0}^p (y(\vec{x}) - d_k) \cdot \phi_k$$

$$\frac{\delta E}{\delta \sigma_j} = \sum_{k=0}^p (y(\vec{x}) - d_k) \cdot w_j \cdot \exp\left(-\frac{\|\vec{x}_k - \vec{c}_j\|^2}{2\sigma_j^2}\right) \cdot \frac{\|\vec{x}_k - \vec{c}_j\|^2}{\sigma_j^3}$$

$$\frac{\delta E}{\delta c_{ji}} = \sum_{k=0}^p (y(\vec{x}) - d_k) \cdot w_j \cdot \exp\left(-\frac{\|\vec{x}_k - \vec{c}_j\|^2}{2\sigma_j^2}\right) \cdot \frac{(x_{ki} - c_{ji})^2}{\sigma_j^2}$$

Rychlost tohoto učení je ovšem srovnatelná s rychlostí zpětné propagace pro standardní (sigmoidální) síť.

RBF síť - regularizace

Naučená síť by měla dobře generalizovat. Neměla by příliš „opisovat“ tréninkové vzory (tj. neměla by být přetrénovaná).

Intuice: Funkce sítě, která příliš opisuje vzory se hodně kroutí - omezíme kroucení.

Definujeme novou chybovou fci

$$E' = E + \gamma \frac{1}{2} \sum_{k=1}^p \sum_{i=1}^n \left(\frac{\delta y}{\delta x_i^2}(\vec{x}_k) \right)^2$$

Zde $\gamma > 0$ je míra vlivu regularizace.

Váhy, které minimalizují $E'(\vec{w})$, jsou řešením: $\vec{w} \cdot M = \vec{d} \cdot \Phi^T$ kde

$$M_{ij} = \sum_{k=1}^p \left(\phi_i(\vec{x}_k) \phi_j(\vec{x}_k) + \gamma \sum_{\ell=1}^n \left(\frac{\delta \phi_i}{\delta x_\ell^2}(\vec{x}_k) \frac{\delta \phi_j}{\delta x_\ell^2}(\vec{x}_k) \right) \right)$$

(Pozn. pro $\gamma = 0$ dostaneme $M = \Phi \cdot \Phi^T$, tj. minimalizaci $E(\vec{w})$)

Srovnáme s vícevrstvou sítí se sigmoidálními jednotkami (dále budu značit MP (multi-layer perceptron))

- ▶ Teoreticky lze aproximovat libovolnou spojitou fci (stejně jako MP)
- ▶ Dvoufázové učení: jednotlivé fáze jsou řádově rychlejší než učení MP (tj. zpětná propagace)
- ▶ RBF síť jsou vhodné pro klasifikaci (více než MP) díky jejich lokálnímu charakteru. Vektory, které jsou daleko od tréninkových vzorů, dostanou malou hodnotu (toto nemusí platit pro MP).
- ▶ jsou vhodné pro aplikace s měnícími se daty (rychlé učení umožňuje on-line adaptaci na nová data - téměř nemožné s MP)
- ▶ snadná regularizace (lineární)

RBF síť - nevýhody

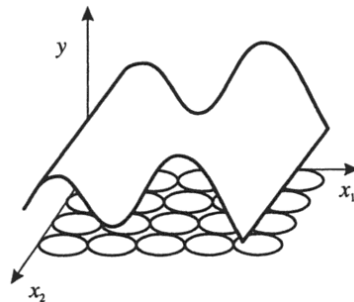
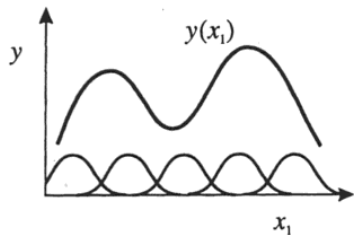
Opět srovnáme s MP.

- ▶ Teoretické výsledky o aproximaci nefungují v praxi (odhady na potřebný počet neuronů jsou nadsazené podobně jako u MP)
- ▶ Dvoufázové učení může být deformované pokud požadované funkční hodnoty nerespektují rozmístění vstupů (např. pokud je požadovaná funkce konstantní v oblasti s mnoha vzory, ale velmi variabilní v oblasti s málo vzory)
- ▶ RBF potřebují mnohem více dat i neuronů pro stejnou přesnost jako MP.
 - ▶ MP aproximují funkci globálně: každý vzor adaptuje většinu neuronů a informace je tedy distribuována po síti
 - ▶ RBF aproximují lokálně: pouze několik málo neuronů reaguje na daný vstup

Z toho také plynou lepší extrapolační vlastnosti MP.

- ▶ RBF síť mají větší problém s prokletím dimenzionality (exponenciální nárůst jednotek s počtem dimenzí). Nejsou schopny odhalit nízkou variabilitu předepsané funkce v daném směru.

RBF síť - nevýhody



kvadratický nárůst počtu neuronů;
RBF neumí poznat, že je funkce (v podstatě) konstantní v x_2 (MP to umí)